

## 코팅 방법에 따른 $\text{SnO}_2/\text{Ti}$ 전극의 제조 및 전기화학적 특성

김한주 · 손원근<sup>†</sup> · 홍지숙<sup>††</sup> · 김태일<sup>†††</sup> · 박수길<sup>\*</sup>

충북대 공업화학과, <sup>†</sup>충남대 신소재연구소

<sup>††</sup>한국화학연구원 화학공정연구센터, <sup>†††</sup>(주)시온텍

(2006년 2월 8일 접수 : 2006년 2월 24일 채택)

## Preparation and Electrochemical Characterization of $\text{SnO}_2/\text{Ti}$ Electrode by Coating Method

Han-Joo Kim, Won-Keun Son<sup>\*</sup>, Ji-Sook Hong, Tae-Il Kim<sup>\*\*</sup>, and Soo-Gil Park<sup>†</sup>

Dept. of Industrial Chemical Engineering, Chungbuk Nat'l Univ.

<sup>†</sup>Research Center of Advanced Material, Chungnam Nat'l Univ.

<sup>\*\*</sup>Chemical Engineering Process Center, KRICT

<sup>†††</sup>Siontech. Co. Ltd.

(Received February 8, 2006 : Accepted February 24, 2006)

### 초 록

전해코팅 법과 dip-coating 법을 이용해 산화주석(IV)을 티타늄 지지체에 코팅하여, 코팅 방법에 따른 코팅 전극의 물성과 전기화학적 특성에 대하여 연구하였다. HCl 로 전극 에칭 후, nitrate 용액에  $\text{SnCl}_2 \cdot 2\text{H}_2\text{O}$ 을 용해시켜 pulse technique를 이용하여 전해코팅 하였으며, dip-coating 법 또한  $\text{SnCl}_2 \cdot 2\text{H}_2\text{O}$ 를 사용하여 1:1V% HCl 용액에 용해시켜 코팅 소결 후 산화주석(IV) 코팅 전극을 제작하였다. 두 가지 코팅 방법을 통해 제작된 산화주석(IV) 코팅 전극은 전극의 물성을 비교하기 위해 x-ray diffraction (XRD), scanning electron microscopy (SEM)를 관찰해보았고, 전기화학적 특성을 평가하기 위해 cyclic voltammetry (CV)를 측정하여 전위 창을 비교해 보았다.

**Abstract :** The study is coated tin(IV) oxide coated on the titanium substrate electrodes by electrodeposition and dip-coating method and studied about that physical and electrochemical characterization by coating methods. After titanium substrate is etched in HCl, electrodeposition is coated  $\text{SnCl}_2 \cdot 2\text{H}_2\text{O}$  in nitrate solution by pulse technique, dip-coating method is also used  $\text{SnCl}_2 \cdot 2\text{H}_2\text{O}$  in 1:1V% HCl and coated by dipping and annealing process. tin(IV) oxide coated on titanium substrate electrodes by two coating methods are studied x-ray diffraction (XRD), scanning electron microscopy (SEM) to compare physical characterization of electrode and potential window by cyclic voltammetry (CV) to observe electrochemical characterization.

**Key words :** HCl etching, Tin(IV) oxide, Dip-coating, Electrodesposition, Potential window.

### 1. 서 론

산화주석(IV)은 다양한 물리적, 화학적 장치에서 넓은 전위 범위에서 활용할 수 있는 물질 중 하나로 산화 반도체로서 널리 연구되어 지고 있으며 가시광선에서의 높은 투과율, 우수한 전기적 특성<sup>1)</sup> 및 화학적 물리적 특성으로 촉매, 가스센서, 태양 전기와 같은 광전기 장치, 리튬이온 전지의 음극 물질로써 사용되고 있다.

산화주석(IV) 이외에도 전극의 코팅 물질로 연구되고 있는 물질에는 지르코늄 산화물, 이리듐 산화물, 루테튬 산화물 등 다

양한 금속 산화물 등이 있다. 앞서 언급한 금속 산화물들은 산화주석(IV)보다 물리적, 화학적으로 우수한 특성을 가지지만, 가격 면에서 고가이기 때문에 공업적 생산을 위해 산화주석에 대한 연구가 보다 활발히 이루어지고 있다.

금속산화물 막은 dip-coating법, 전해코팅법(electrodeposition), sputtering법, spray pyrolysis법, 화학증착법(chemical vapour deposition; CVD) 등에 의해 제작 된다. 코팅 방법에 따라서 전극 흡착력이나 전극 전기적 특성, 수명 등이 바뀔 수 있으며, 코팅 시 드는 장치 비용이나 재료의 비용이 달라질 수 있기 때문에 코팅방법 또한 고려해보아야 할 사항이다. Sputtering법, spray pyrolysis법, 화학증착법 등은 장치 설비에 많은 비용이 들며, 기기를 다루기 위한 복잡한 기술이 필요하다. 이에 반해

\*E-mail: sgpark@chungbuk.ac.kr

dip-coating법은 우수한 homogeneity과 막의 두께를 쉽게 조절할 수 있으며, 넓은 면적이나 다양한 형태의 코팅 면에 코팅이 가능하다. 또한, 간단하고 적은 비용의 제작과정으로 공업적으로 사용이 가능하여 널리 사용될 수 있다.

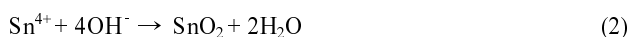
또한 전해코팅 법은 제작 시 낮은 온도와 낮은 농도의 코팅 용액으로도 충분히 코팅할 수 있으며 간단한 실험 장비로 코팅이 가능하므로 재료비가 적게 들고 전기화학적 흡착으로 인해 흡착력이 뛰어나다.

금속 산화물의 전해코팅을 위해서는  $\text{OH}^-$  이온이나  $\text{O}^*$  라디칼이 전극 표면에 존재해야만 한다. 여러 산소의 공급물질 중에서 nitrate ion, hydrogen peroxide, blown oxygen 등이 가장 효과적이라고 보고되어진다.<sup>2)</sup>

본 연구에서는 nitrate ion을 사용하였으며, 다음과 같은 과정으로  $\text{OH}^-$  이온이 생성되었다.



전극 표면에 생성된  $\text{OH}^-$  이온은 코팅 용액에서의 stannic 이온과 반응하여 산화주석(IV)이 생성된다.



본 연구에서는 dip-coating법과 전해코팅 법을 이용해 산화주석(IV)을 티타늄 지지체에 코팅하여, 코팅 방법에 따른 전극의 특성을 알아보았다. 구조의 성질이나 상을 알아보기 위해 X-ray diffraction (XRD), 표면 상태를 관찰하기 위해 scanning electron microscopy (SEM), 전기화학적 특성을 평가하기 위해 cyclic voltammetry (CV)를 통해 평가해 보았다.

## 2. 실험

### 2.1 시약 및 재료

전해코팅이나 dip-coating에서 시약은  $\text{SnCl}_2 \cdot 2\text{H}_2\text{O}$  (Aldrich Co.) 사용하였으며, 용매로써 전해코팅에는 질산, dip-coating은 염산을 사용하였다. 용액 제조 및 Ti 지지체 세척 시, 전도성이 18.2 MΩcm인 초순수를 사용하였다. 전극의 지지체로는 메쉬(mesh) 형태의 티타늄(Ti)을 사용하였다.

### 2.2 전극 전처리

Ti 지지체 표면의 오염은 재현성 있는 전극을 제작하는데 있어 많은 영향을 주므로 산화물 코팅 전까지 Ti 지지체는 여러 단계에 거쳐 전처리 되었다. 초기 시편은 세정액을 함유한 60°C의 초음파 세척기에서 30분간 세척, 아세톤 용액에 의한 세척, 증류수로 수회 세척된 후, Tri-chloroethylen에서 24시간 이상 탈지되었다. 세척이 이루어진 후 Ti 지지체는 온도를 조절할 수 있는 이중 재킷 비이커에 놓여져 에칭이 수행되었다. 일반적으로 촉매 산화물 전극 제작과 관련한 대부분이 문헌에서 Ti 강력하게 에칭시키기 위해 염산을 사용하여 에칭을 수행하였다. 염산 에칭은 Ti 지지체를 60°C에서 35% 염산에 1시간 동안 담가 수행하였다. 에칭 후에는 다시 Ti 지지체를 초순수에 의해 3회 이상의 세척과 약 1시간 정도의 초음파 세척기에 의해 다시 세척하였다. 에칭 후 세척이 철저히 이루어지지 않아 불순물이 표면에 존재하는 경우 소결 시 전극의 모양이 매우 불규칙한 색을 갖게 됨을 관찰할 수 있었다.

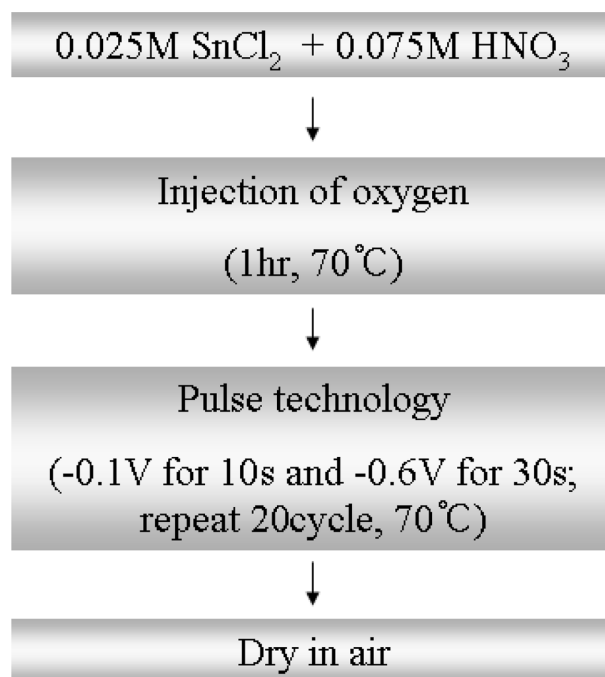


Fig. 1. Schematic diagram of the preparation Tin(IV) oxide on the Titanium substrate by electrodeposition method.

### 2.3 전극 제조 I. (전해코팅 법)

25 mM  $\text{SnCl}_2 \cdot 2\text{H}_2\text{O}$ 과 75 mM  $\text{HNO}_3$ 을 이차 증류수에 용해시킨다. 이 용액을 용액의 전처리와 전해 코팅하는 동안에 70°C를 유지한다. 용액의 전처리 단계에서는 제1 주석( $\text{Sn}^{2+}$ )을 제2 주석( $\text{Sn}^{4+}$ )으로 산화시키기 위해 산소를 용액에 1시간동안 넣어준다. 준비된 코팅 용액은 가능한 빨리 전해 코팅을 수행해야 한다. 전처리 한 티타늄(Ti)지지체를 working 전극으로 하고, Pt wire를 counter 전극, Ag/AgCl(KCl)을 reference 전극으로 삼전극 셀을 구성한다. PGZ301(VoltaLab<sup>®</sup>)을 사용하여 pulse technique로 -0.1V에서 10초, -0.6 V에서 30초로 하여 20 cycle을 반복 한다.<sup>4)</sup> 전해코팅 법에 의해 코팅된 전극은 실온에서 자연 건조시킨다.

전해코팅의 코팅 실험 과정을 Fig. 1을 통해 나타내었다.

### 2.4 전극 제조 II. (dip-coating 법)

HCl과 증류수를 1:1 vol%인 용액<sup>3)</sup>을 제조하여 용매로 사용하고 0.4 M  $\text{SnCl}_2 \cdot 2\text{H}_2\text{O}$ 를 넣어 60°C에서 24시간동안 교반시켜 코팅 용액을 제조한다. 제조한 코팅 용액에 처리한 티타늄(Ti) 지지체를 dipping하여 코팅한다. 코팅한 티타늄 지지체는 90°C에서 건조 후, 450°C에서 10분 동안 600°C에서 1시간동안 최종적으로 소결시킨다.

Thermogravimetric analysis (TGA) 분석을 수행하여 소결 온도를 결정하고 소결 시 반응과정을 알아본다.

전해코팅과 dip-coating의 과정을 거친 전극은 전극 물성을 알아보기 위해 scanning electron microscopy (SEM)와 X-ray diffraction (XRD)을 측정하고 산화주석(IV)이 코팅된 전극의 전기화학적 성질을 알아보기 위해 Cyclic voltammetry를 측정한다.

Dip-coating의 코팅 실험 과정을 Fig. 2를 통해 나타내었다.

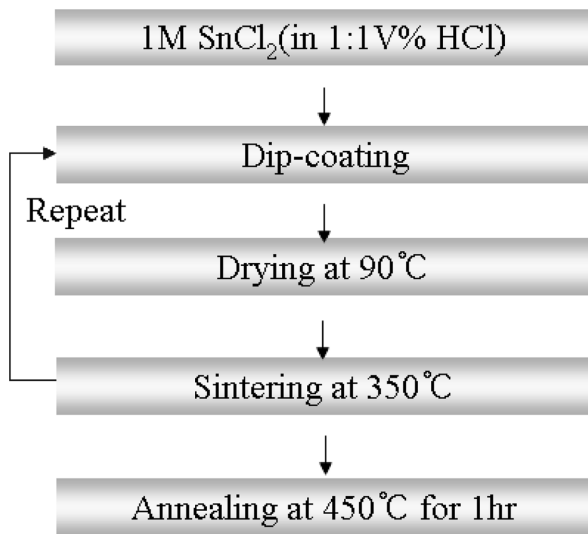


Fig. 2. Schematic diagram of the preparation Tin(IV) oxide on the Titanium substrate by dip-coating method.

### 3. 결과 및 고찰

#### 3.1 소결 온도 및 반응 과정

Dip-coating법에서 소결 온도를 결정하고 소결 시 반응 과정을 살펴보기 위해  $\text{SnCl}_2 \cdot 2\text{H}_2\text{O}$ 과 0.4 M  $\text{SnCl}_2$ 를 티타늄 지지체에 코팅한 물질에 대해 TGA와 DTA를 측정해 보았고 그 결과를 Fig. 3에 나타내었다.

산화주석(IV) 코팅 전극의 소결온도나 반응 과정을 알아보기 전에,  $\text{SnCl}_2 \cdot 2\text{H}_2\text{O}$  자체 물질에 대한 TGA와 DTA를 측정하여 dip-coating 후, 코팅 물질의 TGA와 DTA를 측정 분석하는데 참고하였다.

Fig. 3(a)으로 150°C까지는  $\text{H}_2\text{O}$ 와 그밖에 유기물 등이 증발됨에 따라 1차적 질량 감소를 보이고, 380~490°C에서는 염소 기체로 증발로 2차적 질량 감소를 보였다. 또한, 0.4M  $\text{SnCl}_2$ 를 티타늄 지지체에 코팅한 물질에 대한 TGA와 DTA 그래프를 Fig. 3(b)에 나타내었다. 500°C까지 질량 감소를 보이다가 600°C이후로 질량 증가를 보인다. 이를 통해 500°C까지는 염소 기체가 증발하고 600°C 이후부터는 산화가 일어남에 따라  $\text{SnCl}_2$ 가  $\text{SnO}_2$ 로 전환됨을 알 수 있다. 따라서  $\text{SnCl}_2$ 의 경우 염화물에서 산화물로 전환되기 위해서는 600°C 이상이 되어야 함을 알 수 있다. 이보다 소결온도가 낮으면  $\text{SnCl}_2$ 가  $\text{SnO}_2$ 로 충분히 전환되지 못하여 산화주석(IV) 코팅 전극의 성능이나 수명 등이 떨어지게 되는 것이다. 650°C 이상이 되면 질량 급격히 증가하는 것을 보이는데 이것은 Ti 지지체 표면이 고온 산화되면서  $\text{TiO}_2$ 층으로 덮였기 때문으로 생각된다.  $\text{TiO}_2$ 는 절연체로써 표면에  $\text{TiO}_2$ 층이 덮이게 되면 저항이 크게 증가하기 되기 때문에 전극의 성능이 떨어지게 된다.<sup>5)</sup> 소결온도는 Ti 지지체를  $\text{SnCl}_2$ 용액에 dipping 한 후, 초기시편은 450°C에서 소성하여 염소 이온을 제거한 뒤, 최종으로 600°C에서 소결한다.

각 소결 온도에 따른 반응 과정을 다음과 같이 나타낼 수 있다.

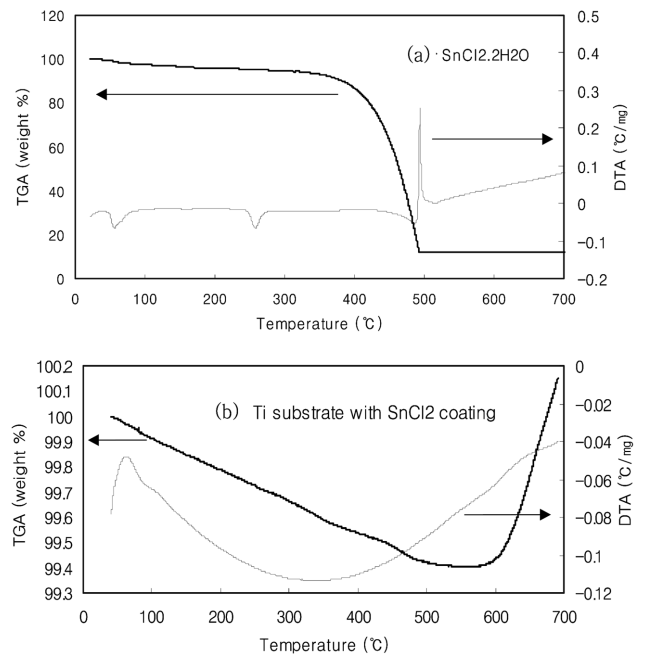
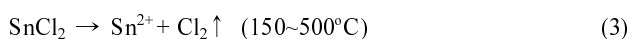
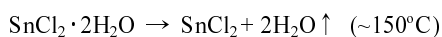
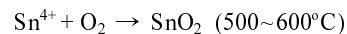
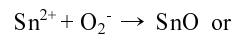


Fig. 3. TGA and DTA spectra of (a)  $\text{SnCl}_2 \cdot 2\text{H}_2\text{O}$  and (b)  $\text{SnCl}_2$  coating on the Ti substrate with sintering temperature.



$\text{SnCl}_2 \cdot 2\text{H}_2\text{O}$ 으로 제조한 코팅 용액이 실온에서 150°C까지 수화물이 증발하고, 500°C까지 Cl 이온이 탈이 되면서 염소 기체로 증발되어진다. 최종적으로 500~600°C에서 산화되면서  $\text{SnO}_2$ 가 생성된다.

#### 3.2 전극 물성

전해코팅법과 dip-coating 법, 두 코팅 방법으로 제조된 전극을 비교하기 위해 전극의 물성을 알아보았다. 구조의 성질이나 상을 알아보기 위해 x-ray diffraction (XRD)를 측정하고, 표면 상태를 관찰하기 위해 scanning electron microscopy (SEM)을 측정하여 분석해보았다.

Fig. 4에 전해코팅 법과 dip-coating 법을 사용해 각각 제조된 산화주석(IV) 코팅 전극의 XRD 측정 결과가 나타나 있다. 두 XRD pattern은 티타늄(Ti)의 자체 peak와 티타늄(Ti) 지지체 위에 4개의  $\text{SnO}_2$  peak를 관찰할 수 있다.

전해코팅을 이용해서 산화주석(IV)을 코팅한 물질에서는 앞서 반응식((1),(2))에서 보았듯이, 전해코팅 과정에서는 4개의  $\text{SnO}_2$ 이 생성 될 때, 낮은 온도에서 쉽게 결정을 이루어 다음과 같은 식으로 metallic Sn가 생성되거나 한다.



하지만, Fig. 4(a)에서는 31°와 32°에서 뚜렷하게 나타나는 Sn 결정 peak가 보이지 않는다. 이는 전해코팅 과정에서 pulse technique로 -0.6 V에서 20초 동안 반응시킬 때,  $\text{SnO}_2$ 와 Sn이 형성되는데, -0.1 V에서 10초동안 반응시켜주면서 Sn이  $\text{SnO}_2$ 로 산화되기 때문이다.<sup>4)</sup> 또한, -0.6 V에서  $\text{SnO}_2$ 와 Sn이 형성되긴 하지만, 다른 전위(-0.2, -0.4 V)에서보다 좀 더 negative한 방향

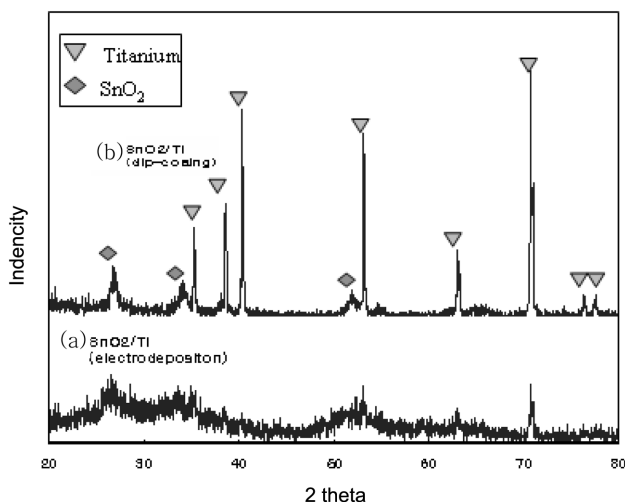


Fig. 4. XRD patterns of  $\text{SnO}_2$  on the Ti substrate by (a) electrodeposition method and (b) dip-coating method.

이기 때문에 빠르게 수산화기(OH)를 형성하기 때문에, 반응식 (2)에서 보듯이,  $\text{SnO}_2$ 를 빠르게 형성하여 비율이 좀더 높일 수 있다.

전해 과정으로 제조된 산화주석(IV) 코팅 전극의 XRD pattern(Fig. 4(a))은 dip-coating 과정의 XRD pattern(Fig. 4(b))와 비교해 보았을 때, 두 pattern 다 티타늄(Ti) 지지체의 peak와 4개의  $\text{SnO}_2$ 을 보이고 있긴 하지만, 전해코팅 시 전극의  $\text{SnO}_2$  peak가 dip-coating시 보다 낮은 intensity를 보인다. 또한, dip-coating시 좀더 뚜렷한  $\text{SnO}_2$  peak를 관찰 할 수 있다.

따라서, XRD 결과로 보아, 두 코팅 방법 과정에서 산화가 다 진행되지 않아서 생길 수 있는 metallic Sn은 보이지 않았기 때문에, 산화주석(IV)이 티타늄 지지체 위에 코팅이 되었음을 알 수 있고, dip-coating시 산화주석(IV) 코팅 전극에서

$\text{SnO}_2$ 가 전해코팅 시 보다 뚜렷이 결정을 이룰 수 있었다.

Fig. 5에서는 전해코팅과 dip-coating 법으로 제조된 전극 SEM image로 전극 표면 관찰을 하였다.

Fig. 5((a)~(c))는 전해코팅 법으로 티타늄 지지체위에 코팅한 산화주석(IV) 코팅 전극에 대한 SEM image를 300(a), 2000(b), 10000(c)의 배율로 나타나 있다. 전해코팅 법으로 코팅한 산화주석(IV)은 10000배율(Fig. 5(c))에서 약 100 nm 정도의 작은 입자들이 얹혀 있는 것을 확인 할 수 있다. 하지만 300, 2000 배(Fig. 5(a), (b))의 image에서 관찰되듯이, 작은 입자들이 얹혀 있는 것이 고루 분포 하지 못하고 부분적으로 존재하며 얹힌 입자 덩어리들 사이에 crack들을 확인할 수 있다. 이는 100 nm 크기의 작은 입자들이 서로 잘 얹혀 있지 않을 것으로 보이며, 따라서 밀착력 테스트(tape test)로 확인해 본 바에 의하면 밀착력이 떨어짐을 확인 할 수 있었다.

Dip-coating 법으로 티타늄 지지체 위에 코팅한 산화 주석(IV) 코팅 전극에 대한 SEM image를 300(d), 2000(e), 10000(f)의 배율로 나타나 있는 Fig. 5((d)~(f))에서는 0.4 M  $\text{SnCl}_2$  코팅 용액에  $\text{SnCl}_2 \cdot 2\text{H}_2\text{O}$ 이 용매에 고루 용해되어서 전해 코팅과 같은 작은 입자들은 보이지 않고 소결 시 수화물이나 기타 유기물의 증발로 생길 수 있는 crack이 보이지 않는다. 이는 소결시 450°C에서 10분동안 1차하고 600°C에서 1시간동안 2차 소결을 하면서 0.5°C/min의 낮은 승온속도를 취하고, 각 소결과정에서 120°C에서 1시간정도 건조 과정을 거치면서 잔류하는 수화물이나 유기물 등이 전극 표면에서 증발 할 수 있었기 때문이다. 또한 전해 코팅과 같이 흡착력 테스트(Tape test)를 수행한 결과, dip-coating 시, 전해 코팅 시 보다 우수한 흡착력을 보임을 확인 할 수 있었다.

따라서, SEM image로 확인 해 보았을 때, dip-coating법을 통해 코팅한 산화주석(IV) 전극이 전해코팅 법보다 전극 표면이 안정적이며 코팅이 잘 고루 잘 이루어진 것을 확인 할 수 있었고, 그러한 전극 표면을 보이는 전극은 밀착력 또한 더욱 우수한 것을 알 수 있었다.

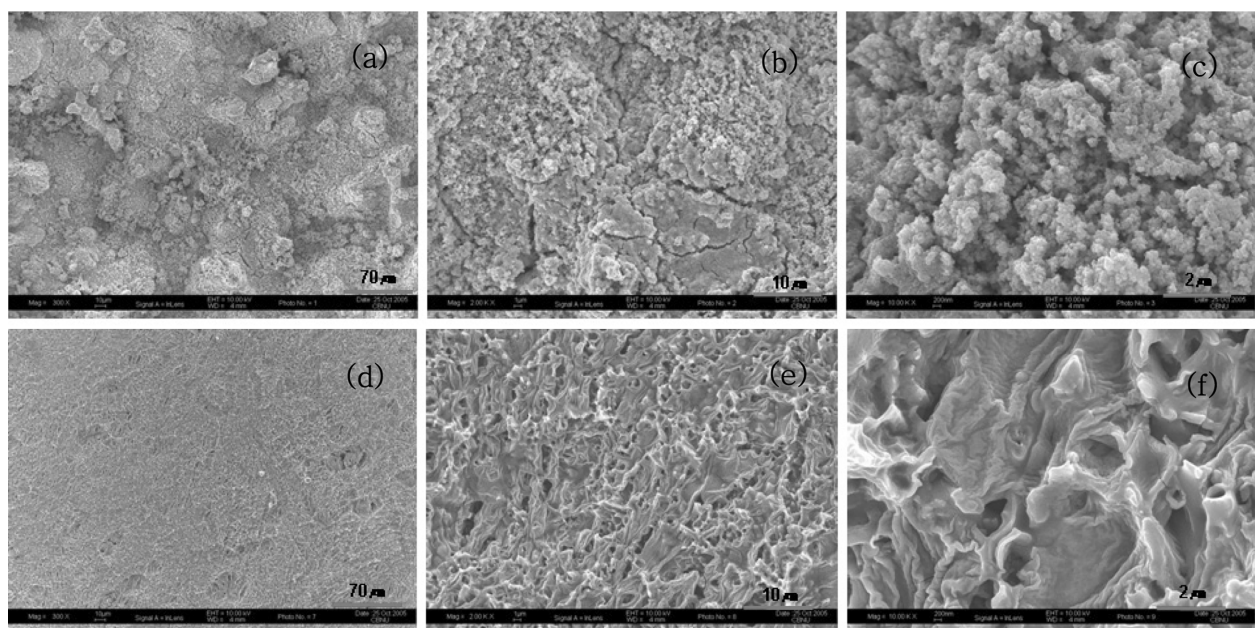


Fig. 5. Scanning electron micrographs of  $\text{SnO}_2$  on the Ti substrate by electrodeposition method {(a)  $\times 300$ , (b)  $\times 2000$ , (c)  $\times 10000$ } and by dip-coating method {(d)  $\times 300$ , (e)  $\times 2000$ , (f)  $\times 10000$ }.

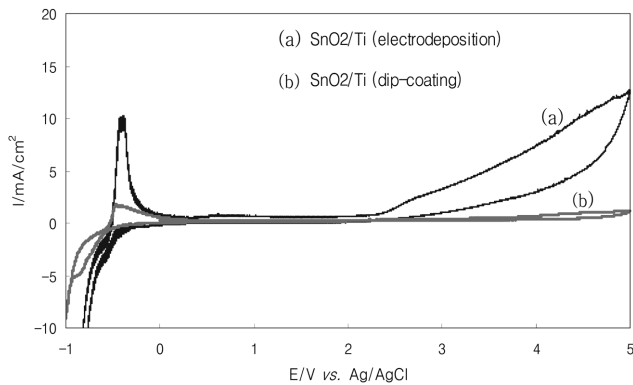


Fig. 6. Cyclic voltammetry of  $\text{SnO}_2$  on the Ti substrate by (a) electrodeposition method and (b) dip-coating method; counter electrode-Pt, reference electrode-Ag/AgCl, electrolyte-1 M  $\text{H}_2\text{SO}_4$ , scan rate-50 mV/s.

### 3.3 전극의 전기화학적 특성

티타늄(Ti) 지지체에 산화주석(IV)을 코팅하여 전극으로 사용하기 위해서는 전극의 전기화학적 특성을 평가해야만 한다. 전기화학적 특성 중에서도 전극이 과전위에서 얼마나 견딜 수 있는지 알아보기 위해, Cyclic voltammetry로 전극의 전위창을 알아보았다.

전해코팅 법과 dip-coating 법으로 티타늄(Ti)지지체 위에 산화주석(IV)을 코팅한 전극을 working 전극으로, Pt wire를 counter 전극으로, Ag/AgCl(KCl)을 reference 전극으로, 전해질으로 1 M  $\text{H}_2\text{SO}_4$ 를 사용하여 scan rate 50 mV/s로 Cyclic voltammetry를 수행한 결과가 Fig. 6에 나타나 있다.

Fig. 6(a)에서는 전해코팅시, 산화주석(IV) 코팅 전극은 0~2.2 V의 전위에서 산화-환원 반응을 보이지 않는 것으로 보아, 그 전위 범위에서 안정된 상태를 보임을 알 수 있었으며, Fig. 6(b)에서는 dip-coating시 산화주석(IV) 코팅 전극이 0~3.2 V의 전위범위 사이에서 안정됨을 알 수 있었다.

따라서, 산화주석(IV) 코팅 전극은 전해코팅시, 2.2 V의 전위창을 가지는데 비해 dip-coating시 전극은 3.2 V의 더 넓은 전위창을 가지는 것을 볼 수 있다.

이를 통해서, 티타늄(Ti) 지지체 위에 산화주석(IV)을 dip-coating 법으로 코팅한 전극이 보다 넓은 전위창을 가지므로, 과전위에서도 견딜 수 있는 안정한 전극으로 사용할 수 있다. 특히, 폐수 처리, 반도체 세척 등에 사용되는 오존을 전기분해식으로 발생시킬 때, 일반적으로 사용하는 BDD (Boron-doped diamond) 전극의 전위창 (3.0V)<sup>7)</sup>과 같이 넓은 전위창을 가지므로, BDD전극의 대체 전극 등으로 사용될 수 있다.

전극으로써 사용여부를 알아보기 위해 cyclic voltammetry를 수행해본 결과, dip-coating시 산화주석(IV) 코팅 전극이 전해코팅시보다 전위창이 더 넓고 안정된 전극으로 보여짐을 알 수 있다.

## 4. 결 론

본 연구에서는 산화주석과 같은 금속 산화물막을 코팅하는 방법은 다양하지만 공업적 생산 가능성이 큰 방법으로 dip-coating 법과 전해코팅 법을 이용해 산화주석(IV)을 티타늄 지지체에 코팅하여 제작하고 코팅 방법에 따른 전극의 특성을 알아보았다.

XRD pattern에서는 dip-coating시 전해코팅 시보다  $\text{SnO}_2$  peak가 뚜렷이 나타남을 보였고, SEM 측정 결과 dip-coating을 사용하여 산화주석(IV) 코팅 전극을 제작하는 방법이 전해코팅 법보다 표면이 안정되고 밀착력이 더 뛰어남을 확인 할 수 있었다. 또한 cyclic voltammetry 측정한 결과, dip-coating시에는 3.2 V의 전위창을 가지면서, 전해코팅시 전극의 전위창인 2.2 V보다 더 넓은 전위창을 확인할 수 있었다.

따라서 dip-coating을 통해 티타늄(Ti)지지체 위에 코팅한 산화주석(IV) 전극이 전극의 물성뿐만 아니라 전기화학적 특성에서도 전해코팅 법을 통해 코팅한 산화주석(IV) 전극보다 우수한 성능을 가짐을 알 수 있었다.

## 감사의 글

본 연구는 산업자원부의 공동핵심기술개발 과제 및 충북대학교 학술연구지원사업의 연구비 지원사업에 의해서 수행되었습니다.

## 참고문헌

1. A. Fujishima, K. Hashimoto, and T. Watanabe, "TiO<sub>2</sub> photocatalysis fundamentals and applications" BKC, Inc., 128 (1999).
2. M. Zheng, G. Li, X. Zhang, S. Huang, Y. Lei, and L. Zhang, *Chem. Mater.*, **13**, 3859 (2001).
3. T. A. F. Lassali and L. O. S. Bulhoes, "Surface characterization of thermally prepared, Ti-supported, Ir-based electrocatalysts containing Ti and Sn" *J. of the Electrochemical Society*, **144** (1997).
4. S. T. Chang, I. C. Leu, and M. H. Hon, "Novel methods for preparing nanocrystalline  $\text{SnO}_2$  and Sn/ $\text{SnO}_2$  composite by electrodeposition" *J. of Alloys and Compounds*, **403**, 336 (2005).
5. K. W. Kim, "Study on the electro-activity and non-stoichiometry of Ru-based mixed oxide electrode" *Electrochimica Acta*, **46**, 915 (2001).
6. S. S. Park and J. D. Mackenzie, "Sol-gel-derived tin oxide thin films" *Thin solid films*, **258**, 268 (1995).
7. Fujishima, Einaga, "Diamond electrochemistry" BKC, Inc. 221 (2005).
8. M. E. Makgae and A. M. Crouch "Preparation and surface characterization of Ti/ $\text{SnO}_2$ -RuO<sub>2</sub>-IrO<sub>2</sub> thin films as electrode material for the oxidation of phenol" *Materials Chemistry and Physics*, **92**, 561 (2005).
9. A. Chandra Bose, P. Thangadurai, and S. Ramasamy, "Grain size dependent electrical studies on nanocrystalline  $\text{SnO}_2$ " *Materials Chemistry and Physics*, (2005).